

Consistance globale sur les intervalles avec des *domaines de consistance*. Application à la fusion de données

Amadou Gning et Philippe Bonnifait

Heudiasyc UMR UTC/CNRS 6599
Compiègne

Introduction

- » Problématique :
 - » Localiser en temps réel une voiture de façon garantie
 - » Des capteurs redondants (capteurs ABS + angle au volant + gyromètre ...+ GPS)
- » Approche basée sur l'analyse par intervalles
 - » On s'intéresse à l'utilisation de la propagation de contraintes
 - » On présente une nouvelle approche par **Domaine de Consistance**

PLan

- Rappels
 - Problème de satisfaction de contraintes
 - Consistance
- Domaine de consistance
 - Définition
 - Intérêt
 - Propriétés
 - Théorèmes
 - 2 exemples linéaire et non linéaire
- Application au problème de localisation
- Conclusion
- Perspectives

Problème de satisfaction de contraintes

Constraint Satisfaction Problem ou CSP

- $\mathcal{H} : (F(x) = 0 \mid x \in [x])$
 - $[x]$ pavé de \mathbb{R}^n
 - F système de m contraintes $f_j(x) = 0, \quad j \in \{1, \dots, m\}$
- $S = \{x \in [x] \mid F(x) = 0\}$: ensemble solution de \mathcal{H}
- Contracter \mathcal{H} :
remplacer $[x]$ par $[x]'$ tel que $S \subset [x]' \subset [x]$

Problème de satisfaction de contraintes

- Projection intervalle selon une contrainte et une dimension

$$\Pi_{f_i}([x]) = [\{x_j \in [x_j] \mid \exists x_k \in [x_k] \text{ pour tout } k \in I - \{i\} \text{ et } (f_i(x_1 \dots x_n) = 0)\}]$$

- Résolveur R_{f_i} pour une contrainte f_i

C'est un contracteur tel que $R_{f_i}([x])$ soit le plus grand pavé vérifiant :

$R_{f_i}([x]) \subset [x]$ et $R_{f_i}([x])$ consistant avec f_i .

- Algorithme de waltz / propagation de contraintes

Soit $J = \{j_1, \dots, j_p\}$ ensemble d'indices de 1 à p dans un ordre quelconque.

Les contraintes sont prises consécutivement selon J :

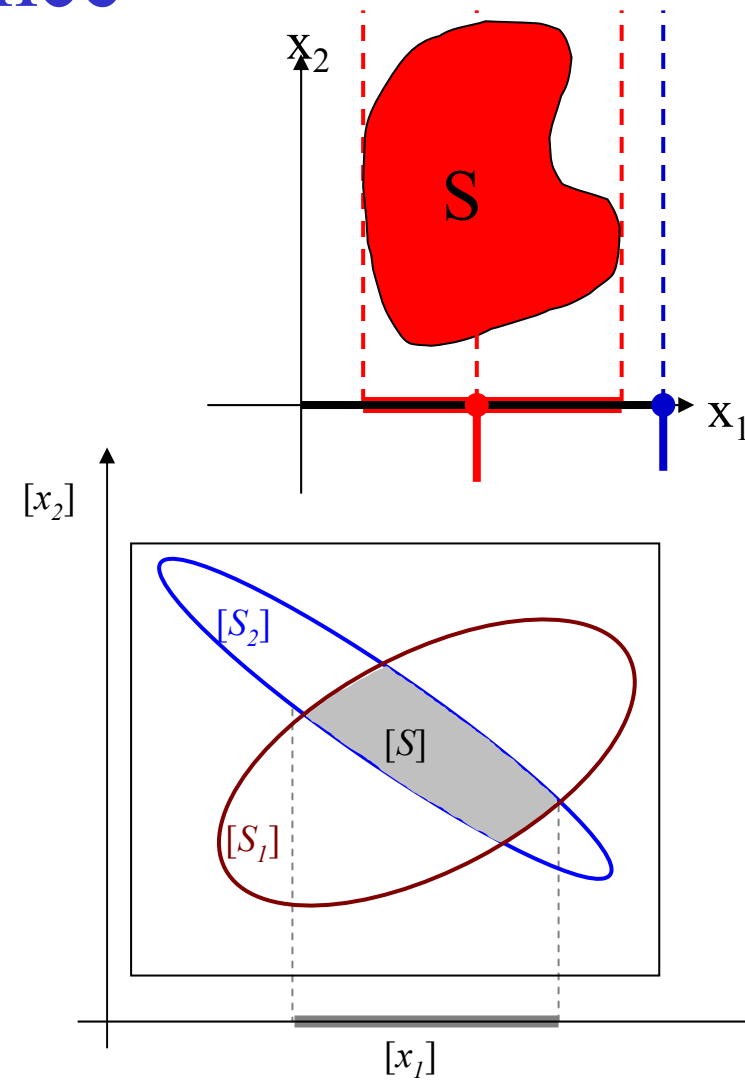
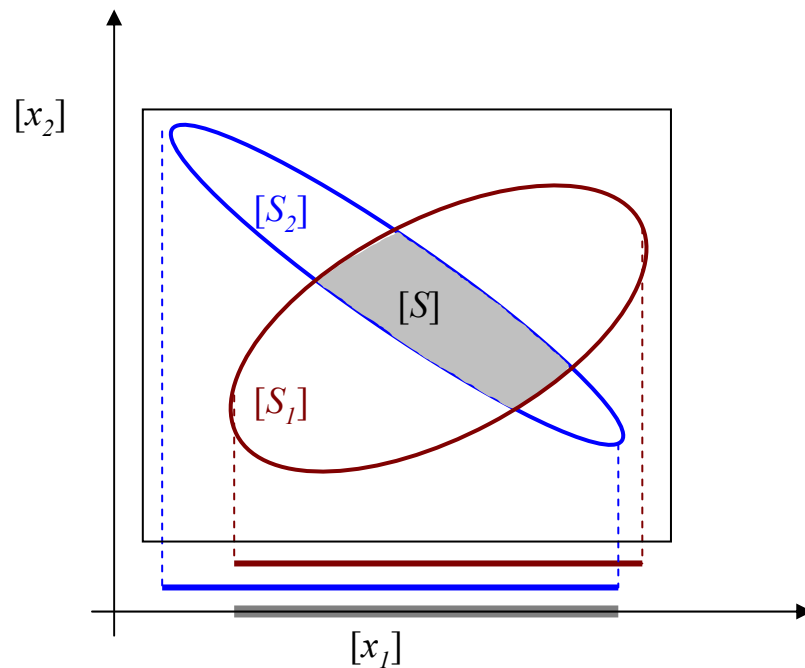
Tant que la contraction de $[x]$ est assez grande répéter

$$[x] = R_{f_{j_1}}(\dots(R_{f_{j_p}}([x]))\dots)$$

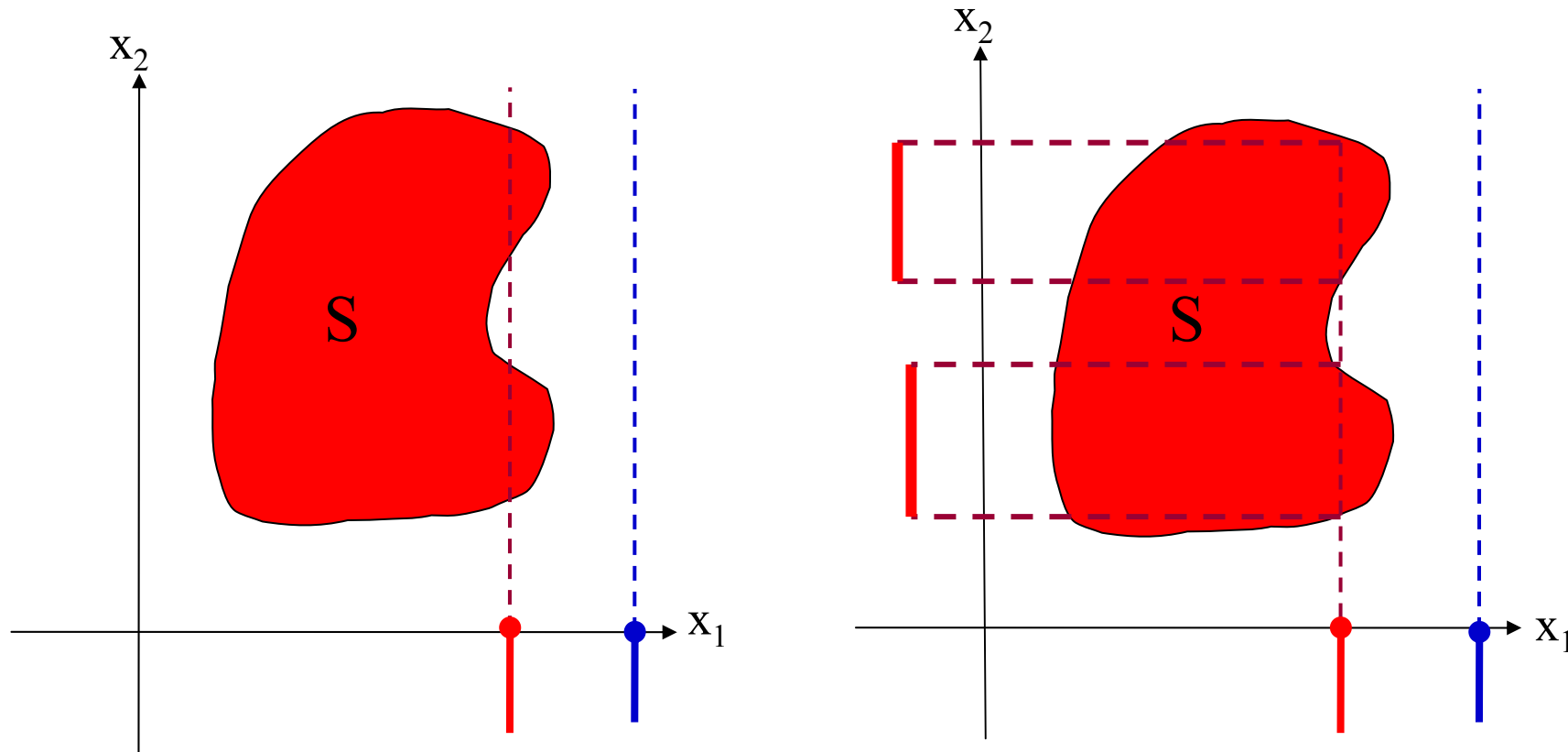
Fin tant que

Consistance

- consistance d'un point
- consistance d'un intervalle



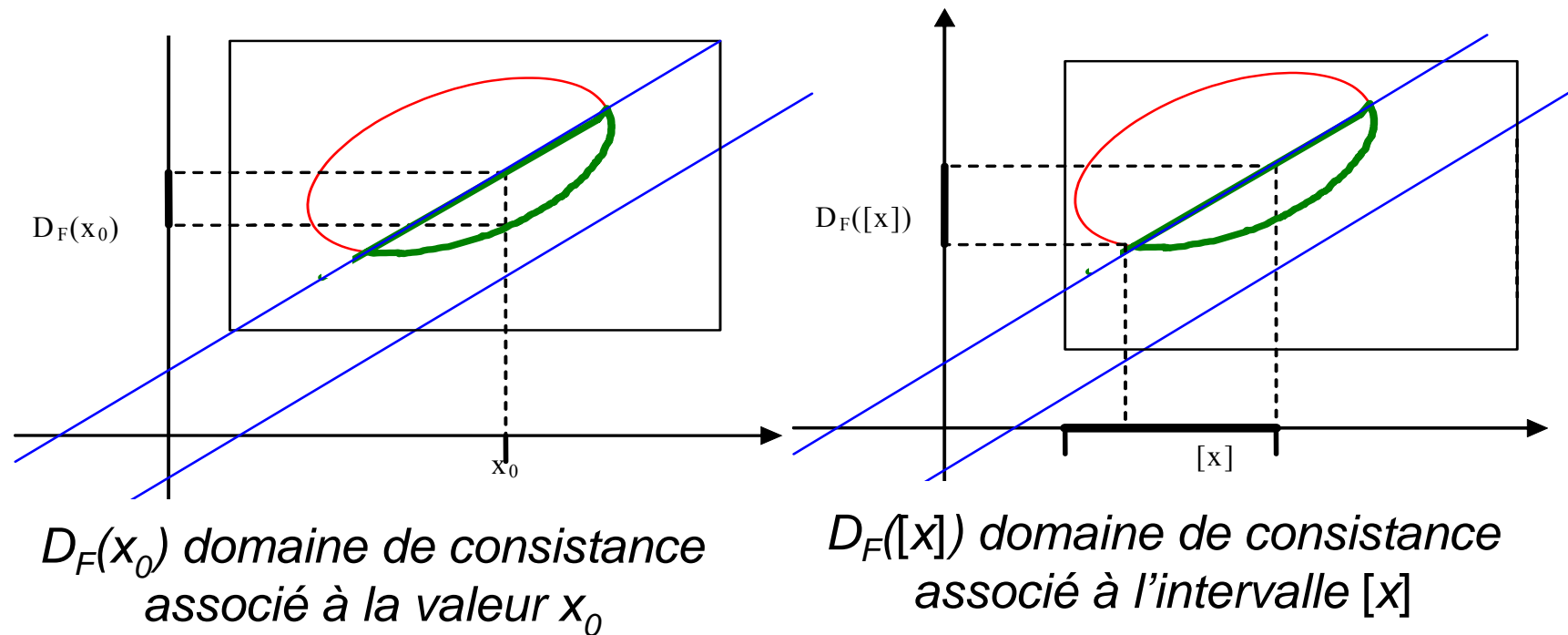
Consistance



- Rappels
 - Problème de satisfaction de contraintes
 - Consistance
- **Domaine de consistance**
 - Définition
 - Intérêt
 - Propriétés
 - Théorèmes
 - 2 exemples linéaire et non linéaire
- Application au problème de localisation
- Conclusion
- Perspectives

Définition des domaines de consistance

$$\mathcal{H}: (x \in [x] \mid F(x) = 0)$$



Définition des domaines de consistance

$$\begin{array}{l}
 x = (x_1, x_2, x_3, x_4, x_5, x_6, x_7, x_8, x_9) \\
 J = (1, 3, 4, 6, 7) \\
 K = (2, 5, 8, 9)
 \end{array}
 \left. \vphantom{\begin{array}{l} x \\ J \\ K \end{array}} \right\}
 \begin{array}{l}
 x_J = (x_1, x_3, x_4, x_6, x_7) \\
 [x_J] = ([x_1], [x_3], [x_4], [x_6], [x_7])
 \end{array}$$

- Domaine de consistance d'un sous-vecteur noté $D_F(x_J)$:

$$D_F(x_J) = \{x_K \mid F(x_J \times x_K) = 0\}$$

- Domaine de consistance d'un sous-pavé noté $D_F([x_J])$:

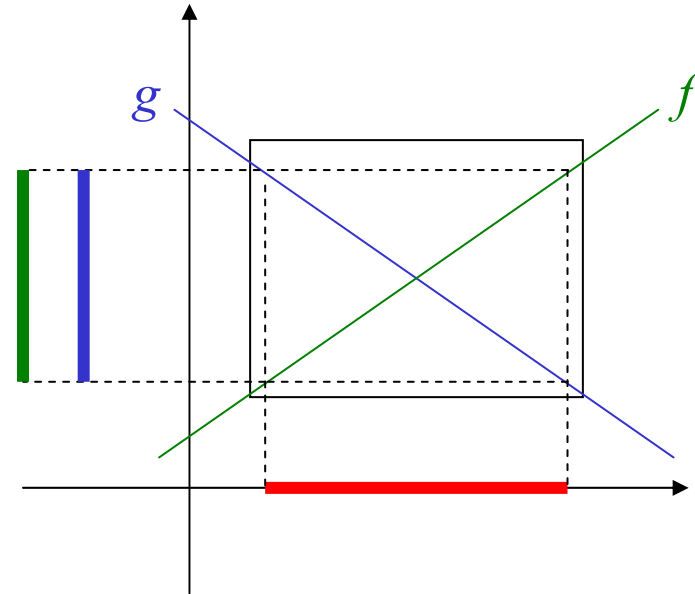
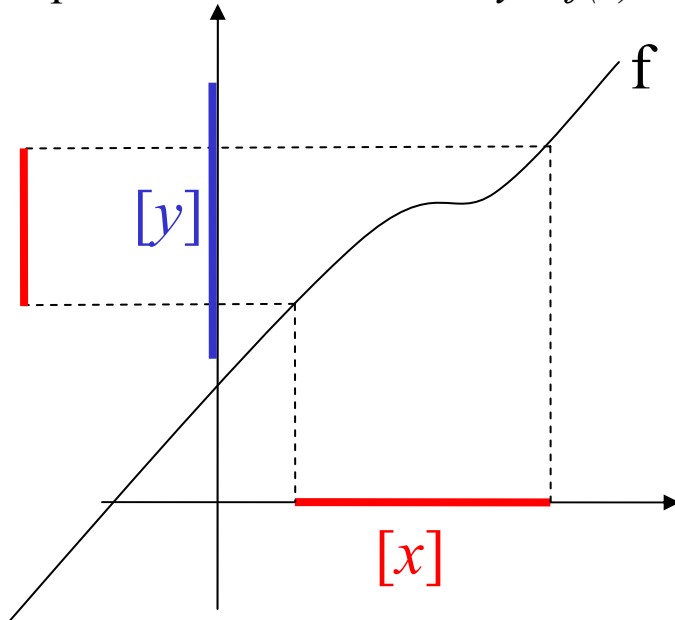
$$D_F([x_J]) = \{x_K \mid \exists x_J \in [x_J] \text{ et } F(x_J \times x_K) = 0\}$$

- Rappels
 - Problème de satisfaction de contraintes
 - Consistance
- **Domaine de consistance**
 - Définitions
 - Intérêt
 - Propriétés
 - Théorèmes
 - 2 exemples linéaire et non linéaire
- Application au problème de localisation
- Conclusion
- Perspectives

Intérêt des domaines de consistance

2 propriétés intéressantes

Exemple d'une contrainte $f : y = f(x)$



$$\left. \begin{array}{l} D_f([x]) = f([x]) \\ \Pi_f([y]) = [y] \cap f([x]) \end{array} \right\} \Pi_f([y]) = [y] \cap D_f([x]) \quad D_F([x]) \subset D_f([x]) \cap D_g([x])$$

le calcul d'une projection utilise le calcul d'un domaine de consistance

On ré-exprime la propriété de consistance locale avec la notion de domaine de consistance

Intérêt des domaines de consistance

De façon générale pour la projection d'une contrainte f_i sur une dimension j on peut écrire

$$\Pi_{f_i, j}([x]) = [x_j] \cap D_{f_i} \left(\times_{k \in I - \{j\}} [x_k] \right)$$



La projection d'une contrainte sur une dimension est équivalente à un calcul de domaine de consistance !

Intérêt des domaines de consistance

Un résolveur R_f d'une contrainte $f \Leftrightarrow$ un produit de projection

$$R_f[x] = \times_{k=1}^n (\prod_{f,k} ([x])) \rightarrow R_f[x] = \times_{k=1}^n ([x_k] \cap D_{f,k} (\times_{r \in I - \{k\}} ([x_r])))$$

Algorithme de Waltz :

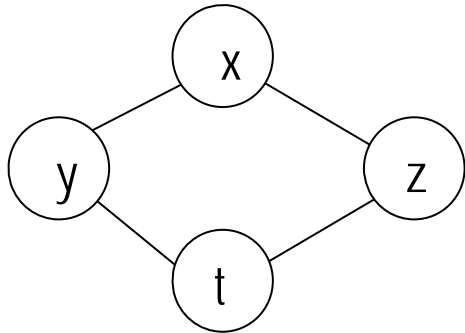
→ Tant que la contraction de $[x]$ est assez grande :

$$[x] = R_{f_{j_1}} (\cdots (R_{f_{j_p}} ([x])) \cdots)$$

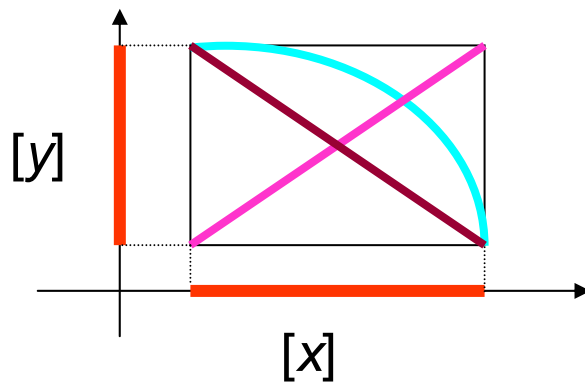


Un algorithme de Waltz s'écrit comme un calcul de domaines de consistance !

Intérêt des domaines de consistance présence de cycles



non résolu en temps connu !
consistance locale !



consistance locale mais
pas de solution !

Un algorithme de Waltz \Leftrightarrow calcul de domaines de
consistance de contraintes prises une à une

$$\text{Or } D_F([x]) \subset \bigcap_{i=1 \dots p} D_{f_i}([x])$$

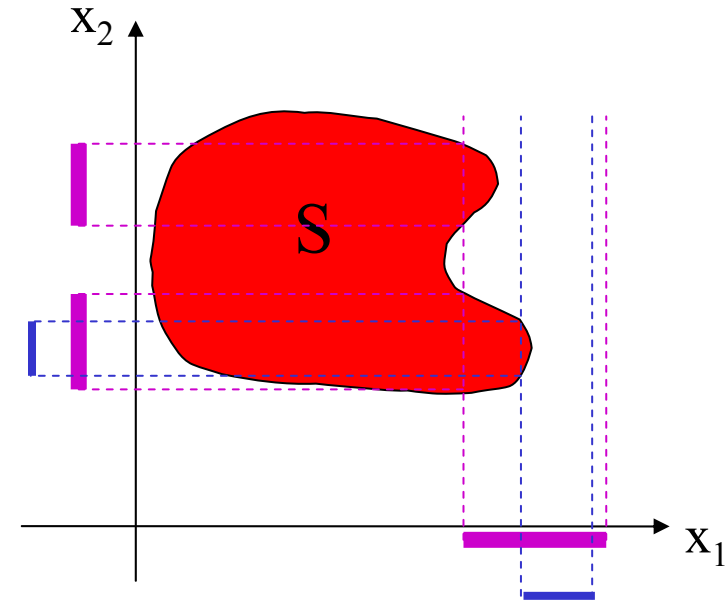


On se propose d'utiliser les propriétés des
domaines de consistance en présence de
cycles

- Rappels
 - Problème de satisfaction de contraintes
 - Consistance
- **Domaine de consistance**
 - Définition
 - Intérêt
 - Propriétés
 - Théorèmes
 - 2 exemples linéaire et non linéaire
- Application au problème de localisation
- Conclusion
- Perspectives

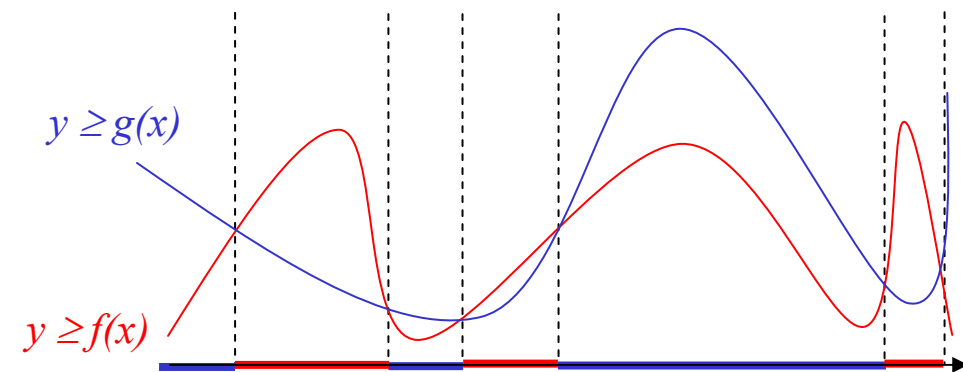
Propriétés

- Monotonie : $[y] \subset [z] \Rightarrow D_F([y]) \subset D_F([z])$



- Union :

- $D_F([x_J]) = \bigcup_{x \in [x_J]} D_F(x_J)$.
- $[z] = \bigcup_{1 \leq i \leq p} [z_{J,i}]$ Alors $D_F([z]) = \bigcup_{1 \leq i \leq p} D_F([z_{J,i}])$



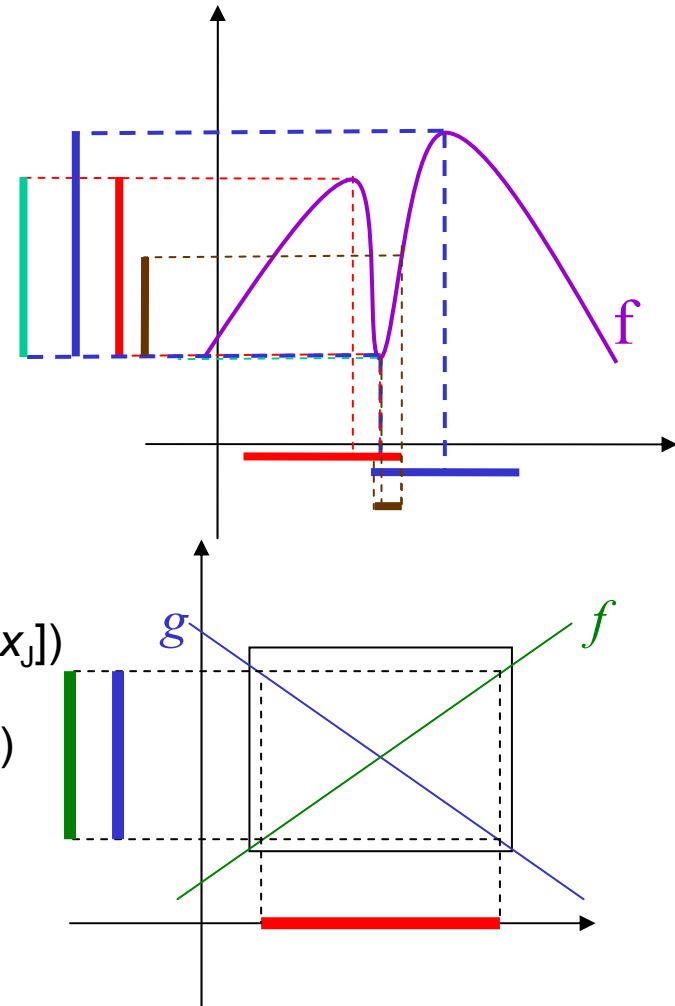
Propriétés

■ Intersection :

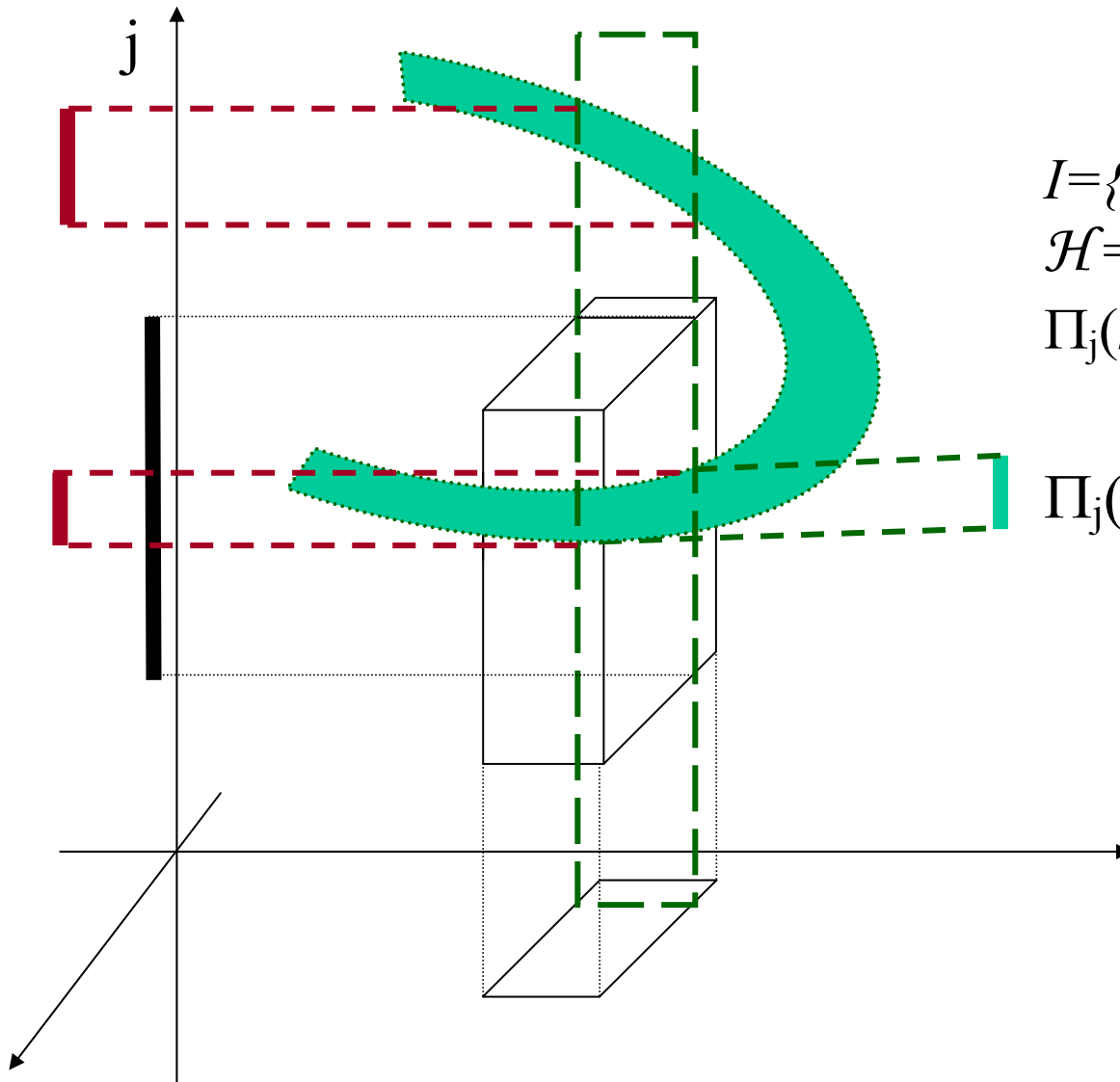
$$[z] = \bigcap_{1 \leq i \leq p} [z_{J,i}] \text{ alors } D_F([z]) \subset \bigcap_{1 \leq i \leq p} D_F([z_{J,i}])$$

■ Système de contraintes :

- $G(x) = 0$ sous-partie de $F(x) = 0 \Rightarrow D_F([x_J]) \subset D_G([x_J])$
- $G(x) = 0$ équivalent à $F(x) = 0 \Rightarrow D_F([x_J]) = D_G([x_J])$
- $D_F([x]) = \bigcap_{i=1 \dots p} D_{f_i}([x])$



Théorème 1: obtention du pavé globalement consistant avec le calcul de domaines de consistance



$$I = \{1 \dots n\}$$

$$\mathcal{H} = (F(x) = 0, x \in [x])$$

$\Pi_j(S)$ projection de S selon j

$$\Pi_j(S) = [x_j] \cap D_F(\prod_{i \in I - \{j\}} [x_i])$$

$$\Pi_j(S) = [x_j] \cap D_F(\times_{i \in I - \{j\}} [x_i])$$

Résoudre le CSP \Leftrightarrow savoir calculer pour tout j :

$$D_F(\times_{i \in I - \{j\}} [x_i])$$

Les 2 théorèmes suivants fournissent des méthodologies pour calculer ce domaine de consistance

Théorème 2 : choix judicieux de variables ponctuelles ou intervalles pour le calcul d'un domaine de consistance

Le domaine de consistance calculé pour F est inclus dans l'intersection des domaines de consistances calculés avec

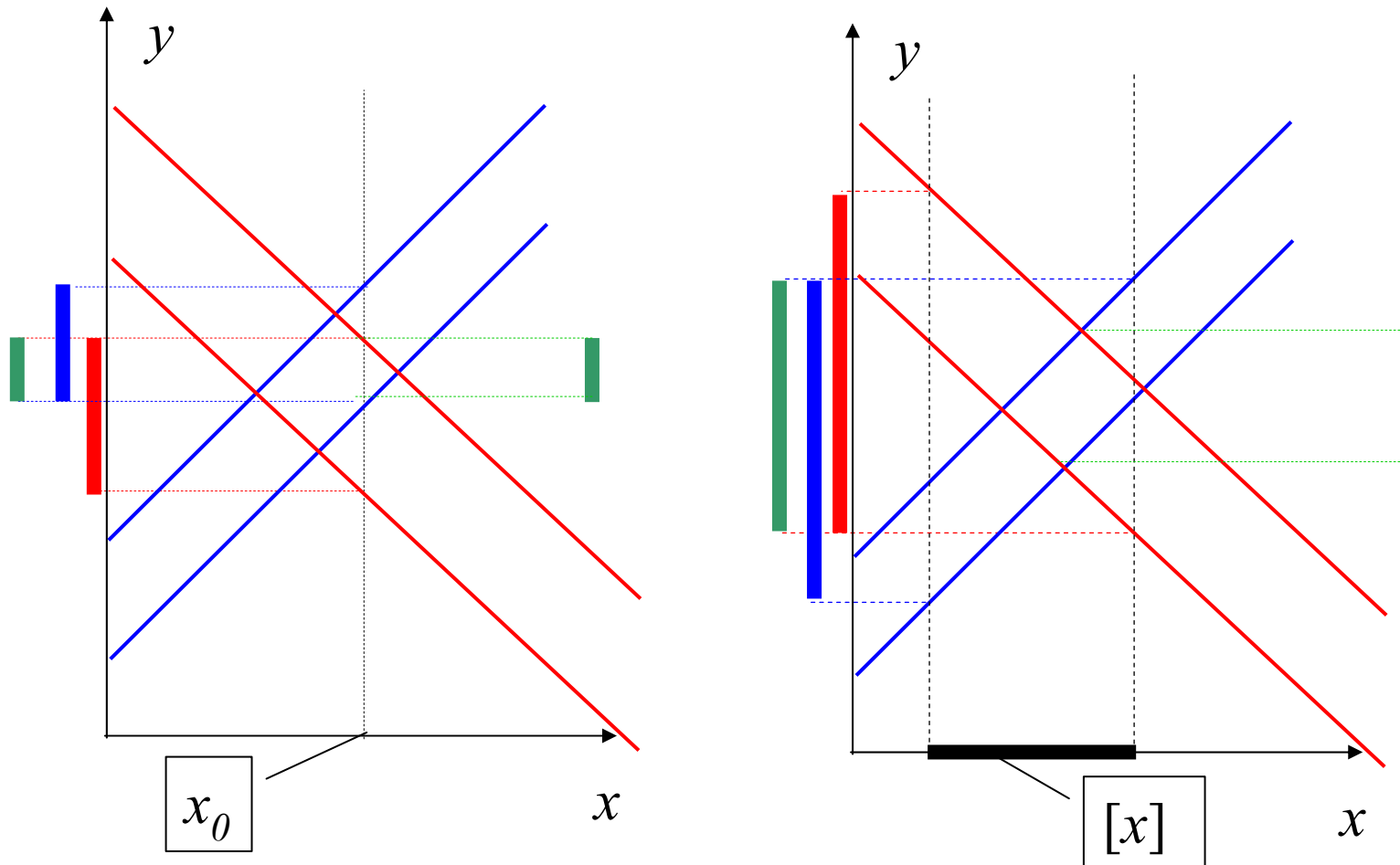
les f_i : $D_F([x]) \subset \bigcap_{i=1\dots p} D_{f_i}([x])$

x_J^{1-} composantes de x_J apparaissant une fois au plus

x_J^{1+} composantes de x_J apparaissant deux fois au moins

$$\rightarrow D_F([x_J^{1-}] \times x_J^{1+}) = \bigcap_{i=1\dots p} D_{f_i}([x_J^{1-}] \times x_J^{1+})$$

Théorème 2 : illustration



Théorème 3 : simplification du calcul de domaines de consistance en présence de cycles

Pour $j \in 1 \dots n$: calcul de $D_F(\times_{i \in I - \{j\}} [x_i])$

→ on traite en 2 sous-parties :

✓ Un nouveau CSP sans la variable x_j

- $f_{I-\{j\}}$ contraintes F indépendantes de x_j

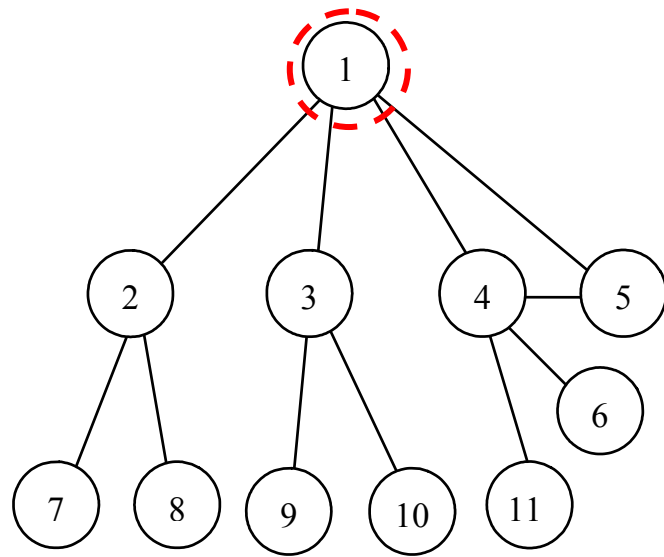
- $\mathcal{H}_{I-\{j\}} = (f_{I-\{j\}}(y) = 0, y \in \times_{i \in I - \{j\}} [x_i])$

- $S_{I-\{j\}}$ l'ensemble solution du CSP $\mathcal{H}_{I-\{j\}}$

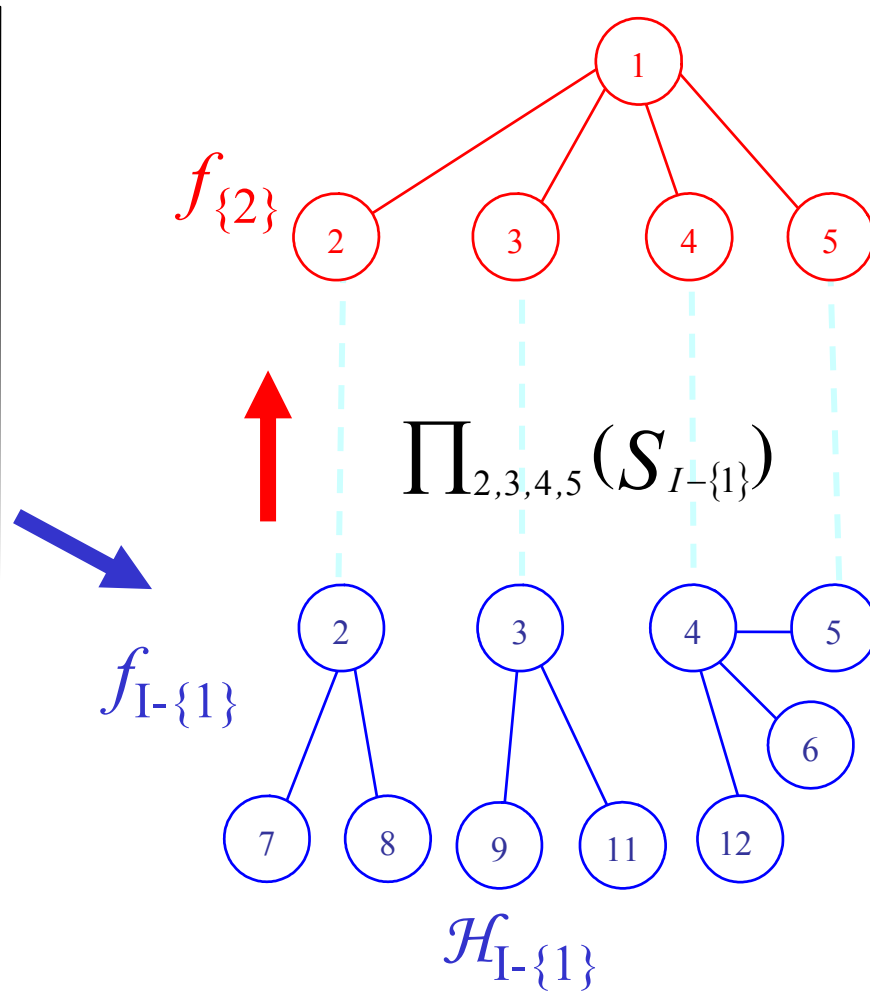
✓ $f_{\{j\}}$ relie x_j uniquement aux q variables d'indices j_1, \dots, j_q ($q \leq n$)

$$\rightarrow D_F(\times_{i \in I - \{j\}} [x_i]) = D f_{\{j\}}(\prod_{j_1 \dots j_q} (S_{I - \{j\}}))$$

Théorème 3 : illustration



calcul de $D_F(\times_{i \in I - \{1\}} [x_i])$

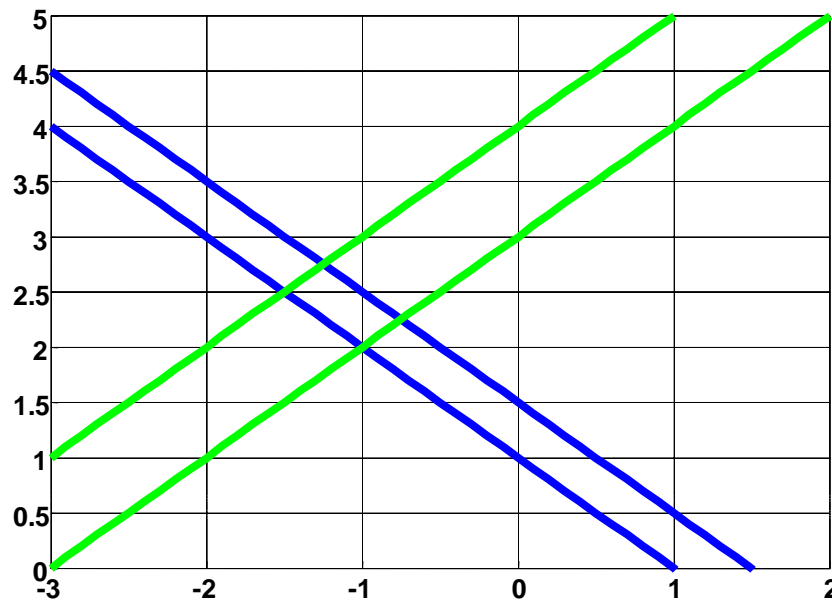
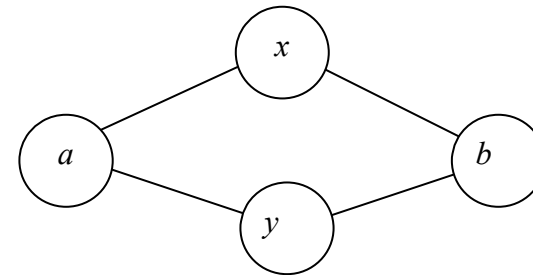


- Rappels
 - Problème de satisfaction de contraintes
 - Consistance
- **Domaine de consistance**
 - Définition
 - Intérêt
 - Propriétés
 - Théorèmes
 - 2 exemples linéaire et non linéaire
- Application au problème de localisation
- Conclusion
- Perspectives

Exemple linéaire

$$\mathcal{H} = (F(a, b, x, y) = 0 \mid (a \times b \times x \times y) \in [a_1, a_2] \times [b_1, b_2] \times [x_1, x_2] \times [y_1, y_2])$$

$$\text{où } F: \begin{cases} y+x=a \\ y-x=b \end{cases}$$



Exemple linéaire

$$X = (a, b, x, y)$$

Calculons par exemple $\Pi_4(S)$

Théorème 1 : On utilise : $\Pi_4(S) = [y] \cap D_F([a] \times [b] \times [x])$

Théorème 2 : x apparaît 2 fois

→ on calcule $D_F([a] \times [b] \times x)$ avec l'intersection des domaines de consistance des contraintes prises séparément

Exemple linéaire

– Étape 1 : expression de $D_F([a] \times [b] \times x)$ pour un $x \in [x]$

$$D_F([a] \times [b] \times x) = D_{f_1}([a] \times [b] \times x) \cap D_{f_2}([a] \times [b] \times x)$$

$$= ([a] - x) \cap ([b] + x)$$

$$\begin{aligned} y + x &= a \\ y - x &= b \end{aligned}$$

$$= [a_1 - x, a_2 - x] \cap [b_1 + x, b_2 + x]$$

$$= [\text{Sup}(a_1 - x, b_1 + x), \text{Inf}(a_2 - x, b_2 + x)]$$

$$D_F([a] \times [b] \times [x]) = \bigcup_{x \in [x]} D_F([a] \times [b] \times x)$$

Exemple linéaire

- Étape 2 : évaluation des bornes en fonction de x

$$\Delta(x) = (a-x) - (x+b) = a-b-2x$$



On cherche à utiliser la propriété :

$$[z] = \bigcup_{1 \leq i \leq p} [z_{J,i}] \text{ Alors } D_F([z]) = \bigcup_{1 \leq i \leq p} D_F([z_{J,i}])$$

Notons $x_{ab} = \frac{a-b}{2}$

	$] -\infty, x_{ab}]$	$[x_{ab}, +\infty [$
$\Delta(x)$	> 0	< 0
$\text{Sup}\{a-x, b+x\}$	$a-x$	$b+x$
$\text{Inf}\{a-x, b+x\}$	$b+x$	$a-x$

Exemple linéaire

	$]-\infty, x_{a,b}]$	$[x_{a,b}, +\infty[$
$\Delta(x)$	>0	<0
$\text{Sup}\{a-x, b+x\}$	$a-x$	$b+x$
$\text{Inf}\{a-x, b+x\}$	$b+x$	$a-x$

$$x_{a_1, b_1} \leq x_{a_2, b_2}$$

	$P_1 =]-\infty, x_{a_1, b_1}]$	$P_2 = [x_{a_1, b_1}, x_{a_2, b_2}]$	$P_3 = [x_{a_2, b_2}, +\infty[$
$\text{Sup}\{a_1-x, b_1+x\}$	a_1-x	b_1+x	b_1+x
$\text{Inf}\{a_2-x, b_2+x\}$	b_2+x	b_2+x	a_2-x
$D_F([a] \times [b] \times x)$	$[a_1-x, b_2+x]$	$[b_1+x, b_2+x]$	$[b_1+x, a_2-x]$

→ 3 secteurs (P_1, P_2, P_3) où les bornes de $D_F([a] \times [b] \times x)$ sont connues

Exemple linéaire

– Étape 3: calcul de $D_F([a] \times [b] \times [x])$ connaissant $D_F([a] \times [b] \times x) \forall x$



$$[x] = \bigcup_{i=1,2,3} [x] \cap P_i \rightarrow$$

$$[a] \times [b] \times [x] = \bigcup_{i=1,2,3} [a] \times [b] \times ([x] \cap P_i) = \bigcup_{i=1,2,3} \bigcup_{x \in [x] \cap P_i} ([a] \times [b] \times x)$$

$$D_F([a] \times [b] \times [x]) = \bigcup_{i=1,2,3} \bigcup_{x \in [x] \cap P_i} D_F([a] \times [b] \times x)$$

→ Pour P_1 on a : $\bigcup_{x \in [x] \cap P_1} D_F([a] \times [b] \times x) = \bigcup_{x \in [x] \cap P_1} [a_1 - x, b_2 + x]$



Union d'intervalles propres et impropres!

Eviter : $[4 \ 1] \cup [5 \ 6] = [4 \ 6]$

Exemple linéaire

→ Pour P_1 :

$$\bigcup_{x \in [x] \cap P_1} D_F([a] \times [b] \times x) = \bigcup_{x \in [x] \cap P_1} [a_1 - x, b_2 + x]$$

	$]-\infty, x_{a,b}]$	$[x_{a,b}, +\infty[$
$\Delta(x)$	>0	<0
$\text{Sup}\{a-x, b+x\}$	$a-x$	$b+x$
$\text{Inf}\{a-x, b+x\}$	$b+x$	$a-x$

Les intervalles se trouvant dans cette réunion sont vides selon la position de x par rapport à x_{a_1, b_2}

$$\text{i.e. } [a_1 - x, b_2 + x] = \phi \Leftrightarrow x \in]-\infty, x_{a_1, b_2}]$$

Notons $P_{1,S} = P_1 \cap [x_{a_1, b_2}, +\infty[$

$$\begin{aligned} \bigcup_{x \in [x] \cap P_1} D_F([a] \times [b] \times x) &= \bigcup_{x \in [x] \cap P_{1,S}} D_F([a] \times [b] \times x) \\ &= [\text{Inf}_{x \in [x] \cap P_{1,S}} \{a_1 - x\}, \text{Sup}_{x \in [x] \cap P_{1,S}} \{b_2 + x\}] \end{aligned}$$

Exemple linéaire

$$\bigcup_{x \in [x] \cap P_1} D_F([a] \times [b] \times x) = [\text{Inf}_{x \in [x] \cap P_{1,S}} \{a_1 - x\}, \text{Sup}_{x \in [x] \cap P_{1,S}} \{b_2 + x\}]$$

Notons $[x] \cap P_{1,S} = [\underline{x}_{P_1}, \bar{x}_{P_1}]$, on a du fait de la monotonie des fonctions $b_2 + x$ et $a_2 - x$:

$$\bigcup_{y \in [y] \cap P_1} D_F([a] \times [b] \times [x]) = [a_1 - \bar{x}_{P_1}, b_2 + \bar{x}_{P_1}].$$

On tient le même raisonnement pour P_2 et P_3 pour obtenir des ensembles $P_{2,S}$ et $P_{3,S}$

	$P_1 =]-\infty, x_{a_1, b_1}]$	$P_2 = [x_{a_1, b_1}, x_{a_2, b_2}]$	$P_3 = [x_{a_2, b_2}, +\infty[$
$D_F([a] \times [b] \times [x])$	$[a_1 - \bar{x}_{P_1}, b_2 + \bar{x}_{P_1}]$	$[b_1 + \underline{x}_{P_2}, b_2 + \bar{x}_{P_2}]$	$[b_1 + \underline{x}_{P_3}, a_2 - \underline{x}_{P_3}]$

→ 3 secteurs ($P_{1,S}, P_{2,S}, P_{3,S}$) où $D_F([a] \times [b] \times [x])$ connus

Exemple linéaire

Algorithme solveCD(y) : input([a], [b], [x], [y]), output([y])

$$x_{a_1, b_1} = \frac{a_1 - b_1}{2}, x_{a_2, b_2} = \frac{a_2 - b_2}{2}, x_{a_2, b_1} = \frac{a_2 - b_1}{2}, x_{a_1, b_2} = \frac{a_1 - b_2}{2}$$

$$P_1 =]-\infty, \min(x_{a_1, b_1}, x_{a_2, b_2})], P_2 = [\min(x_{a_1, b_1}, x_{a_2, b_2}), \max(x_{a_1, b_1}, x_{a_2, b_2})], P_3 = [\max(x_{a_1, b_1}, x_{a_2, b_2}), +\infty[$$

$$P_{1,S} = P_1 \cap [x_{a_1, b_2}, +\infty[, P_{2,S} = P_2, P_{3,S} = P_3 \cap]-\infty, x_{a_2, b_1}]$$

$$[x_{P_1}] = [x] \cap P_{1,S}, [x_{P_2}] = [x] \cap P_{2,S}, [x_{P_3}] = [x] \cap P_{3,S}$$

if $[x_{P_1}] \neq \emptyset$, $[y_{S_1}] = [y] \cap [a_1 - \bar{x}_{P_1}, b_2 + \bar{x}_{P_1}]$ else $[y_{S_1}] = \emptyset$ end

if $(x_{a_1, b_1} < x_{a_2, b_2})$

 if $[x_{P_1}] \neq \emptyset$, $[y_{S_2}] = [y] \cap [b_1 + \underline{x}_{P_2}, b_2 + \bar{x}_{P_2}]$ else $[y_{S_2}] = \emptyset$ end

else

 if $[x_{P_1}] \neq \emptyset$, $[y_{S_2}] = [y] \cap [a_1 - \underline{x}_{P_2}, a_2 - \bar{x}_{P_2}]$ else $[y_{S_2}] = \emptyset$ end

end

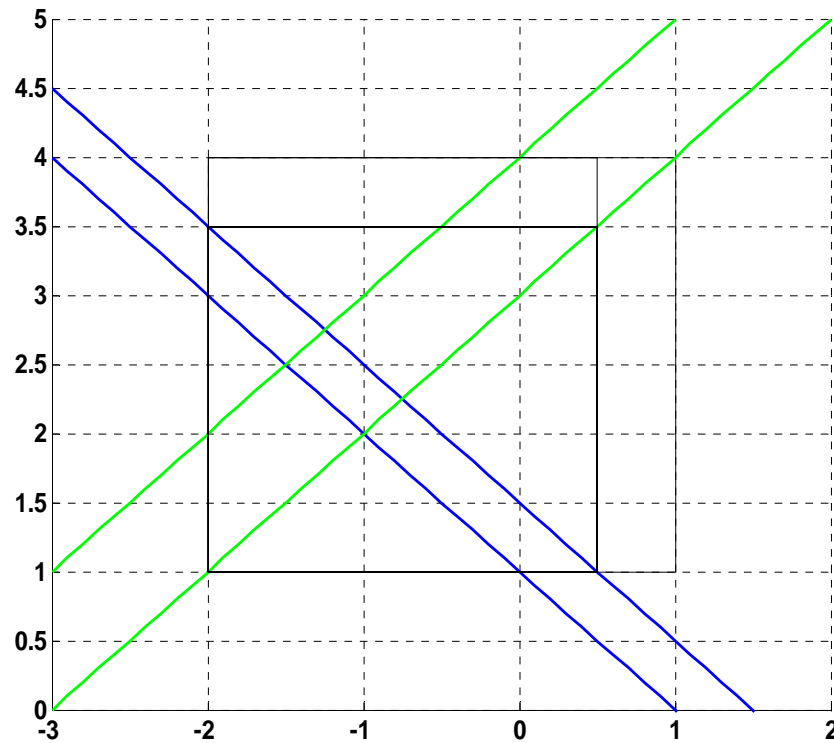
if $[x_{P_2}] \neq \emptyset$, $[y_{S_3}] = [y] \cap [b_1 + \underline{x}_{P_3}, a_2 - \underline{x}_{P_3}]$ else $[y_{S_3}] = \emptyset$ end

$[y] = [y] \cap ([y_{S_1}] \cup [y_{S_2}] \cup [y_{S_3}])$.

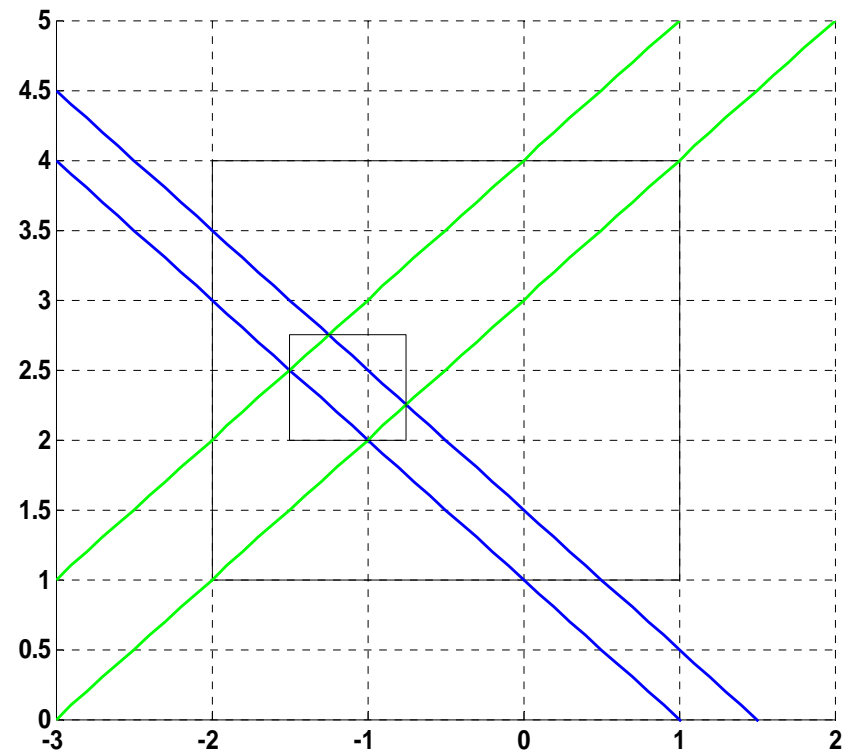
Calcul de domaines de
consistance

Comparaison des contractions obtenues

Waltz



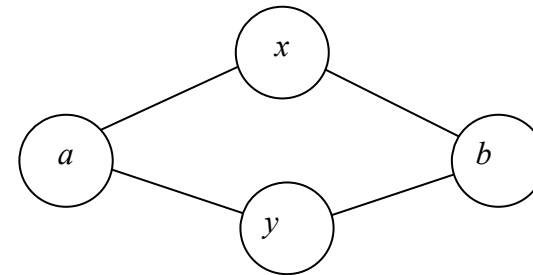
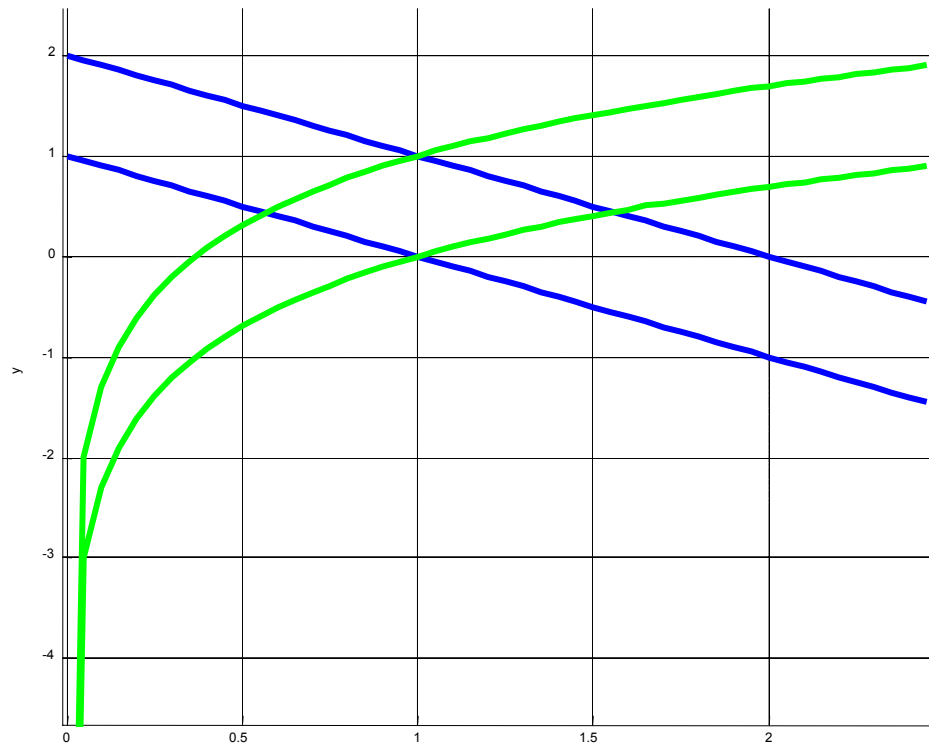
Domaines de consistance



Exemple non linéaire

$$\mathcal{H} = (F(a, b, x, y) = 0 \mid (a \times b \times x \times y) \in [a_1, a_2] \times [b_1, b_2] \times [x_1, x_2] \times [y_1, y_2])$$

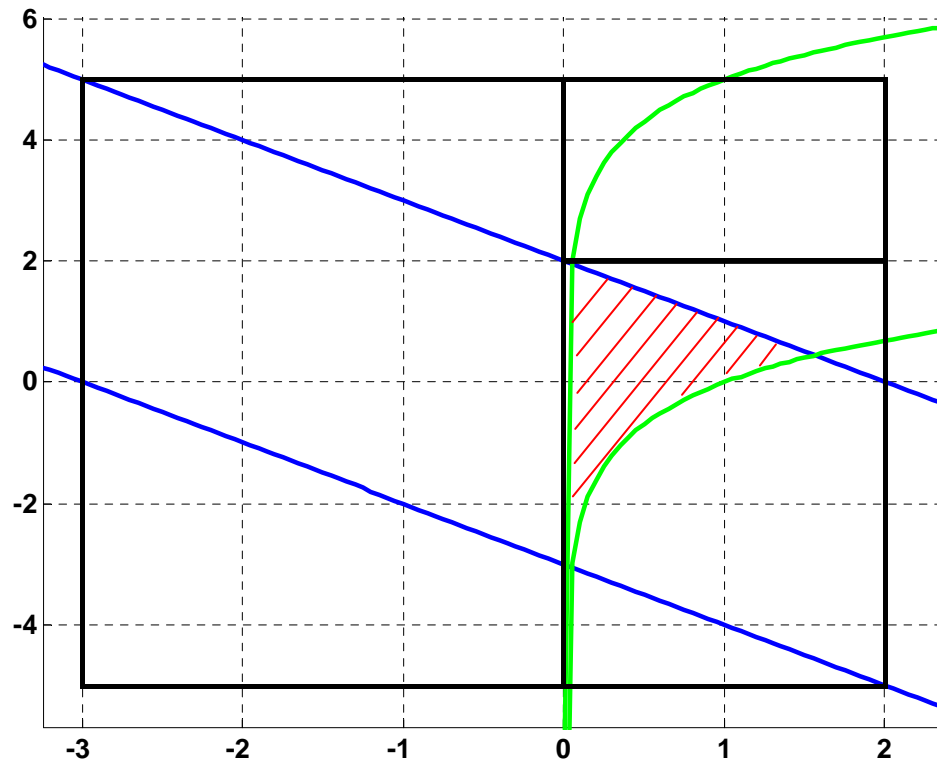
$$\text{où } F: \begin{cases} y+x = a \\ y - \ln(x) = b \end{cases}$$



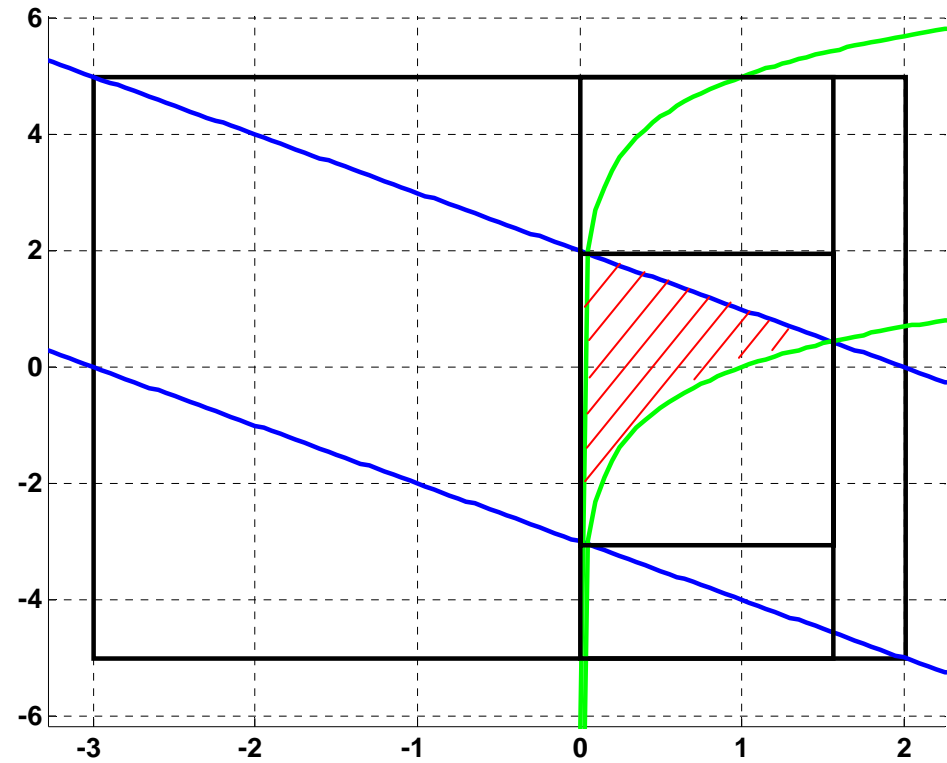
Exemple non linéaire

Avec le même raisonnement

Waltz



Domaines de consistance



PLan

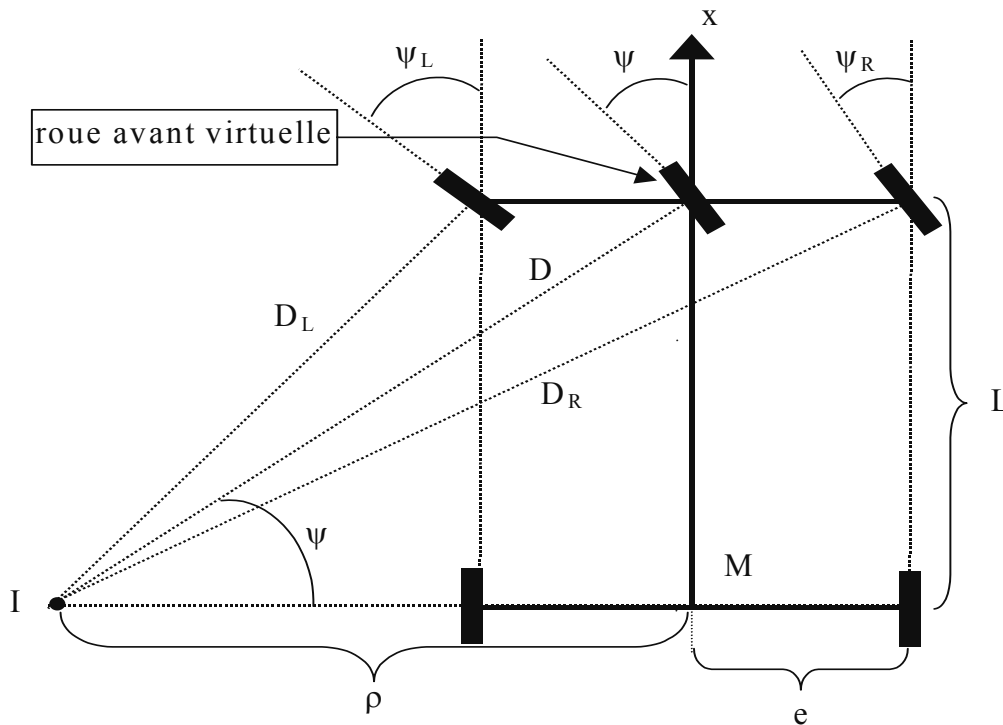
- Rappels
 - Problème de satisfaction de contraintes
 - Consistance
- Domaine de consistance
 - Définition
 - Intérêt
 - Propriétés
 - Théorèmes
 - 2 exemples linéaire et non linéaire
- Application au problème de localisation
- Conclusion
- Perspectives

Résultats sur des données réelles

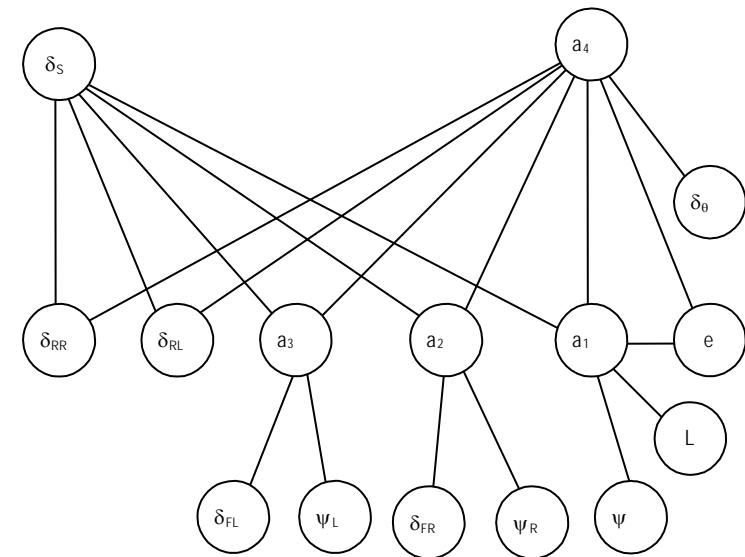


Fusion des données des 4 ABS et de l'angle au volant

Résultat sur des données réelles

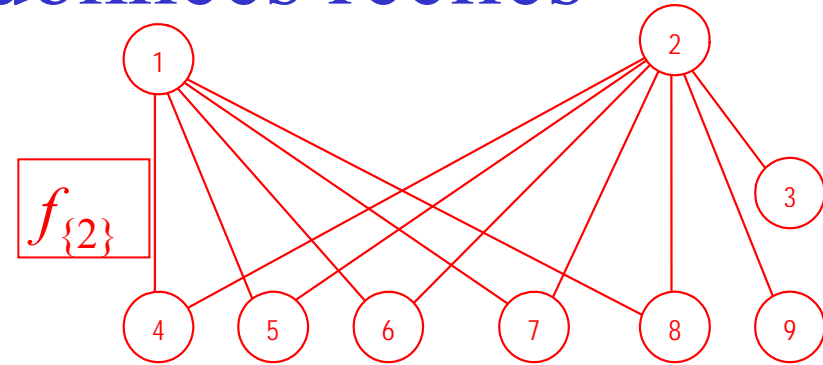
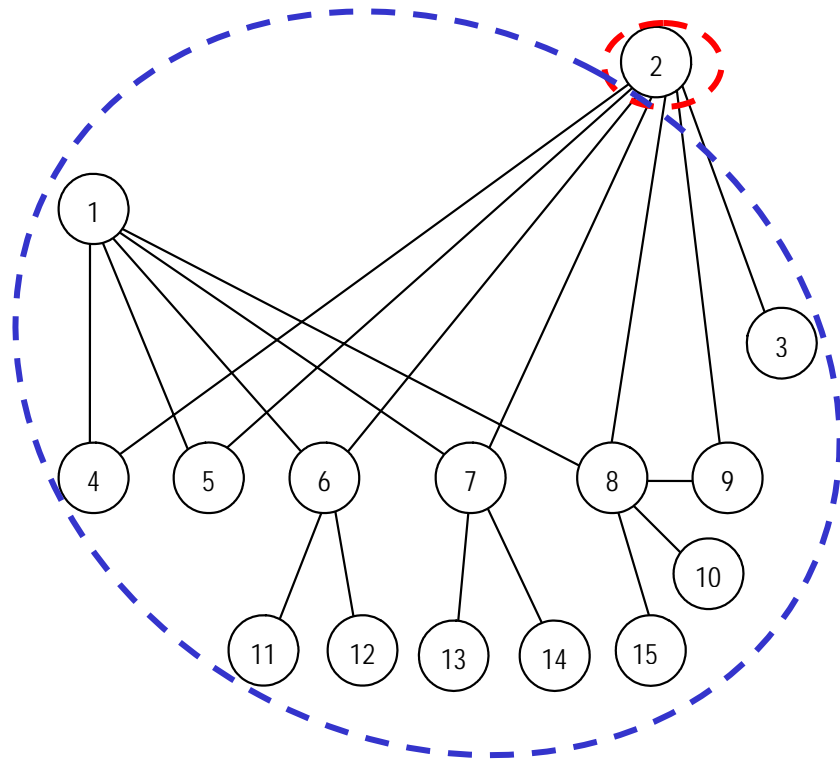


$$\left\{ \begin{array}{l} \tan(\psi) = L \cdot \frac{\delta_S}{\delta_S} = L \cdot \frac{e \cdot \delta_S}{e \cdot \delta_S} \\ \delta_{RL} = \delta_S - e \cdot \delta_S \\ \delta_{RR} = \delta_S + e \cdot \delta_S \\ \delta_{FL} \cdot \cos(\psi_L) = \delta_S - e \cdot \delta_S \\ \delta_{FR} \cdot \cos(\psi_R) = \delta_S + e \cdot \delta_S \end{array} \right.$$

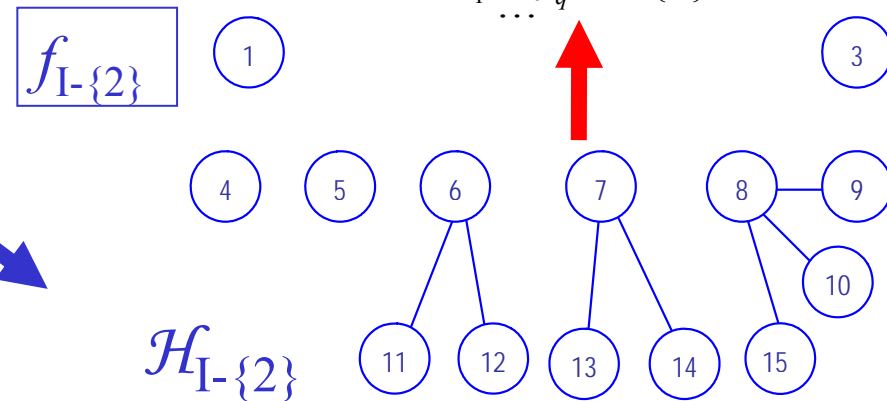


Résultat sur des données réelles

$$D_F(\times_{i \in I - \{2\}} [x_i])$$

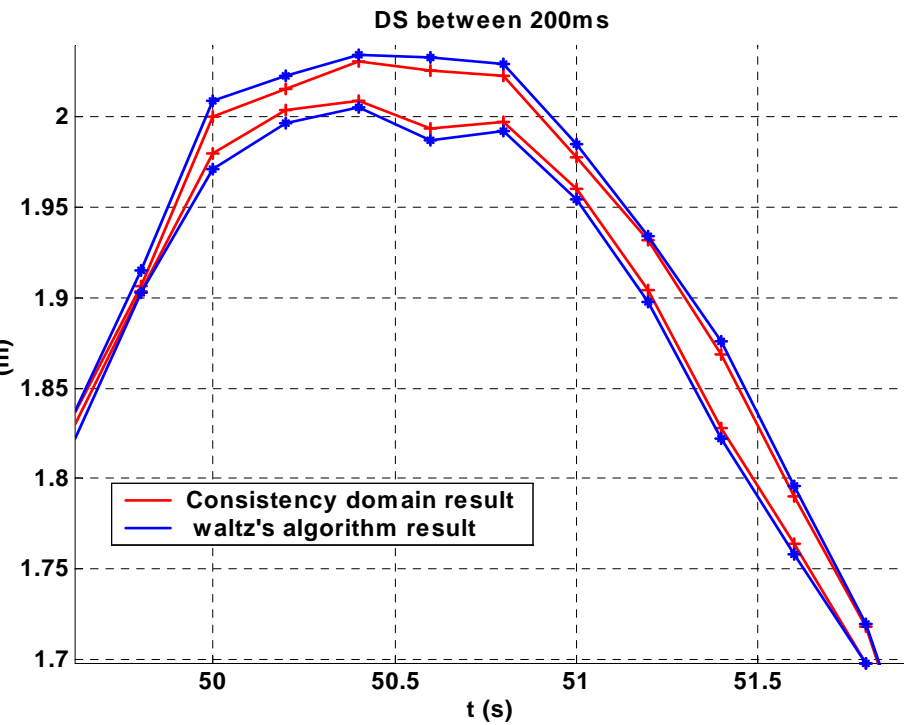
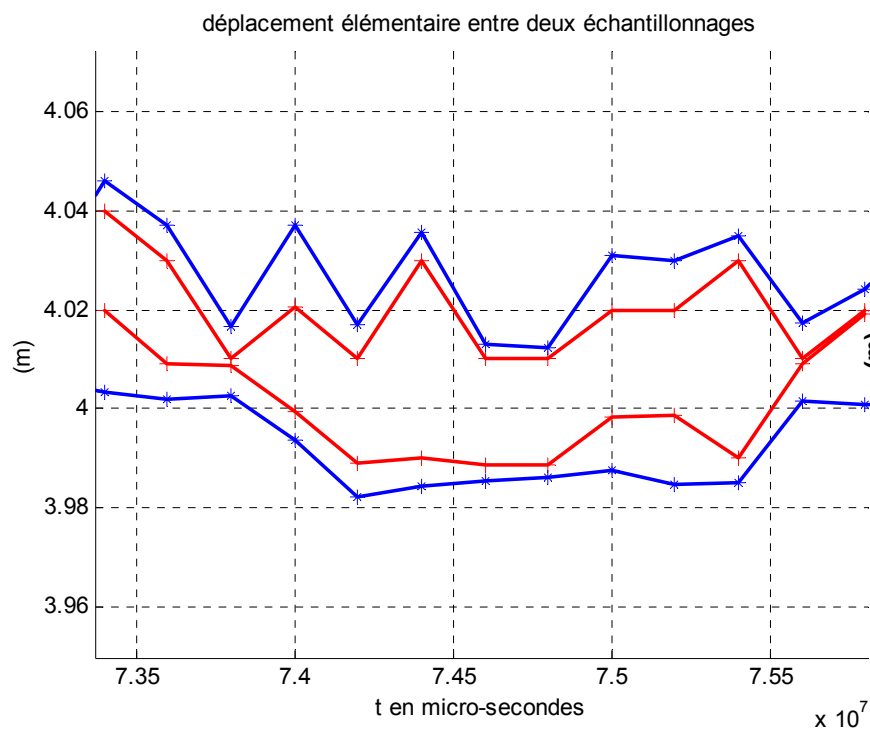


$$\Pi_{j_1 \dots j_q}(\mathcal{S}_{I - \{2\}})$$



Raisonnements similaires à l'exemple traité avec un recours au théorème 3 en surcroît

Résultat sur des données réelles

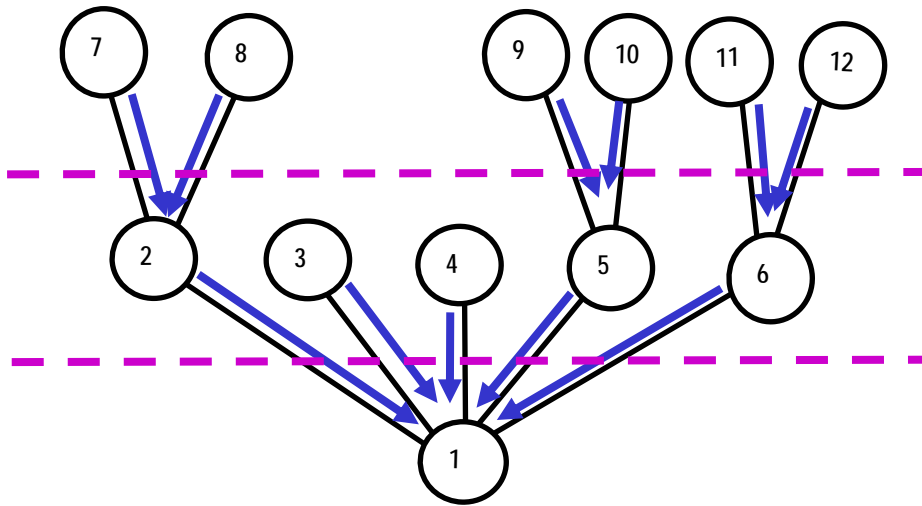


Conclusion

- **Contribution théorique : approche par domaines de consistance**
 - permet de traiter les cycles en un temps connu
 - Atteint la consistance globale
 - On ne sait pas comment la rendre automatisable / on est pas dans une optique de solveur
- **Indépendance vis-à-vis des non-linéarités**
- **Validation sur des données réelles**
- **Dans notre problème, on est plutôt confronté à des inconsistances de capteurs**

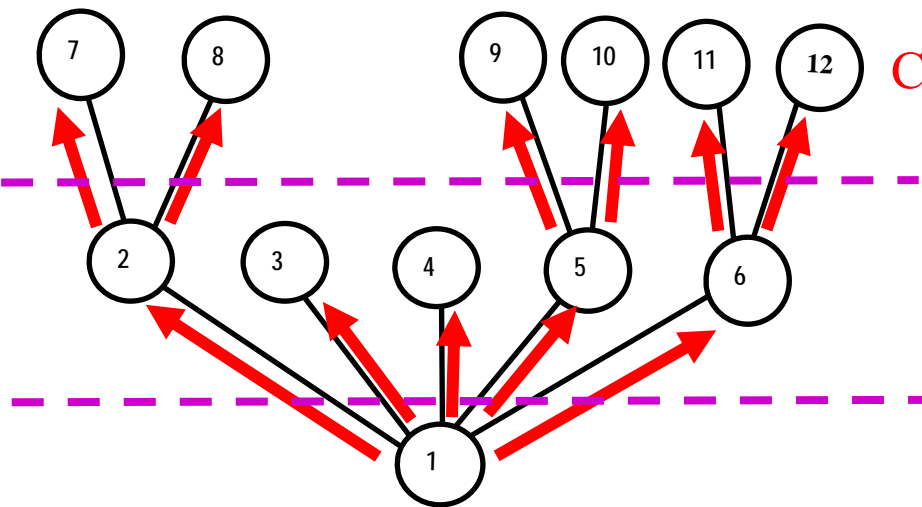
perspectives

- Essayer d'identifier la classe des cycles, la classe des contraintes pour lesquelles le calcul sur les domaines de consistance est faisable
- La propriété d'un graphe structuré en arbre → vectorisation



FALL

Non prise en compte compte d'une structure d'arbre : risque de parcourir $2 \times (l-1) + 1$ avec un algorithme de type Waltz au lieu d'1 tour



CLIMB

